

# I-85 摩擦サドルの力学機構について

● 本四公団 正員 多田一正  
本四公団 正員 林有一郎

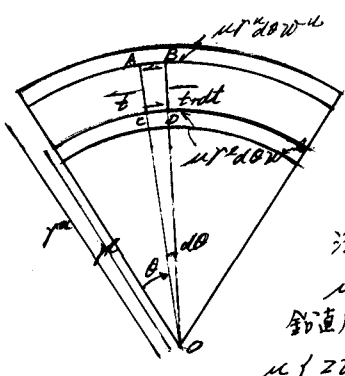
## 1. 玄スギ

吊橋の主塔では、風荷重比が小さい、塔のバネ剛性が大きい場合などに、T-フレームとサドルの間の滑りが問題となることがある。この「うねり」現象の対処方法として考えられる一つの方法に、サドル内にサドルと剛結された水平スペーサー、又は鉛直スペーサーにより摩擦力の増大を計る方法がある。

前者の水平スペーサーを用いた例としてドイツの Severinsbrücke、我が国の未広大橋であるが、理論としては、筆者らの知り限り、文献 1) しか見当らない。本報告は水平スペーサ方式摩擦サドル(以下摩擦サドルと称す)の理論について一提案を行なうものである。

## 2. 2面摩擦の場合の釣り合方程式

円弧形状の摩擦面が上下2面ある場合の釣り合方程式を示す。この時、上面摩擦面の上層にT-フレームが存在するものとする。



左図に於て各記号を次の様に定義する

$t$ : 注目T-フレーム AC 断面の張力

$t^u$ : 注目T-フレームより上オフT-フレーム張力の総和。

$\mu$ : 注目T-フレームと摩擦面の摩擦係数

$w^u$ : AB面の鉛直圧、 $w^l$ : CD面の鉛直圧

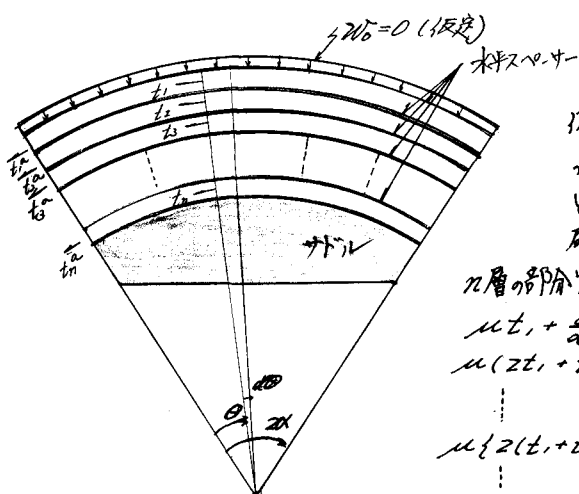
$r^u$ : 上側摩擦面の曲率半径、 $r^l$ : 下側摩擦面の曲率半径  
注目T-フレーム部分の摩擦釣り合方程式

$$\mu r^u d w^u + \mu r^l d w^l + dt = 0$$

鉛直圧とT-フレーム張力との関係  $w^u = \frac{t^u}{\mu r^u}$ ,  $w^l = \frac{t^l}{\mu r^l}$  代入すると、

$$\mu \{ z t^u + t^l \} + \frac{dt}{d\theta} = 0 \quad (1)$$

## 3. 多層スペーサーの場合



2面摩擦の基本式 (1) を用いて多層スペーザーを

用いた場合、摩擦サドルに適用する。この場合、部分ケーブル間に挿入される水平スペーザーは剛体と仮定し、スペーザーとサドル壁体を固定することによって、スペーザーの移動方向を拘束されているものとする。即ち、発生摩擦力はスペーザーからサドル壁体を通じて、塔体へ伝達される。

$n$  層の部分ケーブルに成立する釣り合方程式は

$$\mu t_1 + \frac{dt_1}{d\theta} = 0$$

$$\mu (z t_1 + t_2) + \frac{dt_2}{d\theta} = 0$$

⋮

$$\mu \{ z(t_1 + t_2 + \dots + t_{n-1}) + t_n \} + \frac{dt_n}{d\theta} = 0$$

⋮

$$\mu \{ z(t_1 + t_2 + \dots + t_{n-1}) + t_n \} + \frac{dt_n}{d\theta} = 0 \quad (2)$$

オ1層  
オ2層  
⋮  
オn層

$t_i^a$  ( $i=1, 2, \dots, n$ ) ; 左側のサドル端部より回転に部分の T-ブレア張力  
 $t_i^a$  ( $i=1, 2, \dots, n$ ) ; 左側のサドル端部の T-ブレア張力であり既知とする。

(2) 式を、オーバー、初期条件  $t_1^a$  を与え解き、次にオーバー層を同様にして解く事とする。  
 #5層まで漸化的に解いた結果を示す。

$$(3) \begin{cases} t_1 = t_1^a e^{-\mu \theta} & t_2 = t_2^a e^{-\mu \theta} - 2\mu t_1^a e^{-\mu \theta} \\ t_3 = t_3^a e^{-\mu \theta} - 2\mu(t_1^a + t_2^a)\theta e^{-\mu \theta} + 2\mu^2 t_1^a \theta^2 e^{-\mu \theta} \\ t_4 = t_4^a e^{-\mu \theta} - 2\mu(t_1^a + t_2^a + t_3^a)\theta e^{-\mu \theta} + 2\mu^2(2t_1^a + t_2^a)\theta^2 e^{-\mu \theta} - \frac{2}{3}\mu^3 t_1^a \theta^3 e^{-\mu \theta} \\ t_5 = t_5^a e^{-\mu \theta} - 2\mu(t_1^a + t_2^a + t_3^a + t_4^a)\theta e^{-\mu \theta} + 2\mu^2(3t_1^a + 2t_2^a + t_3^a)\theta^2 e^{-\mu \theta} \\ - \frac{4}{3}\mu^3(3t_1^a + t_2^a)\theta^3 e^{-\mu \theta} + \frac{2}{3}t_1^a \mu^4 \theta^4 e^{-\mu \theta} \end{cases}$$

#### 4 スペーサーとケーブルにかかる計算的

水平スペーサーを 2 枚設けるものとし、スペーサーによつて  
 部分ケーブルの本数は等しくするこことにより、サドル  
 の左端と右端では、各層の T-ブレア張力が等しくなる場合を考える。  
 既に、サドル各層の左端 T-ブレア張力と右端 T-ブレア張力  
 は  $\beta \neq 1$  である。  
 $\beta < 1$

左端の境界条件より定まる左側ケーブルの張力は (3) 式を用いて  $\theta = 0$  で

$$t_1^L = t_1^a e^{-\mu \theta}, \quad t_2^L = t_2^a e^{-\mu \theta}(1 - \mu \theta), \quad t_3^L = t_3^a e^{-\mu \theta}(1 - 3\mu \theta + 3\mu^2 \theta^2)$$

同様にして右端の境界条件より定まる右側ケーブルの張力は

$$t_1^R = \beta t_1^a e^{-\mu(2\theta - \theta')}, \quad t_2^R = \beta t_2^a e^{-\mu(2\theta - \theta')} \{1 - 2\mu(2\theta - \theta')\}$$

$$t_3^R = \beta t_3^a e^{-\mu(2\theta - \theta')} \{1 - 4\mu(2\theta - \theta') + 3\mu^2(2\theta - \theta')^2\}$$

摩擦係数  $\mu = 0.15$  とし、 $\beta = 0.95$  の場合  
 の各層の T-ブレア張力を右図に示す。

スペーサー 2 枚をもつて結果、下層ケーブル  
 の張力は、上層ケーブルの張力に比して大きくなる  
 こと、又、 $t_1^L$  と  $t_1^R$  ( $i=1, 2, 3$ ) の  
 交点は摩擦力の方向と逆法する部分であり、下層の  
 ケーブルほど、ケーブル張力の大きさ左側方向へ  
 摩擦力の逆法部が移行して、3 つと示してある。

#### 5. おわりに

本文は、サドル内に水平スペーサーを取り扱う  
 ことによって、摩擦力の増大効果を用いた場合の  
 ケーブル張力の変化を算定したものである。

円弧サドル工事多層ケーブルの張力伝達に関する  
 基礎実験を併せて実施しているので、今後は  
 この実験と比較して、摩擦サドルの摩擦  
 伝達力を検討する予定である。

#### 参考文献

- 1) 「米国四層の吊橋(半)中央塔頂サドル内における摩擦力による T-ブレア張力差の算出とモリス法の適用」中山武志、(公同資料)
- 2) 平井敦、鋼橋工、
- 3) 中山武志、複波義幸、室屋内玄弘、「摩擦沿坑下における T-ブレア張力の伝達機構」、第31回国工報告。

